

# МАГНИТНЫЕ СВОЙСТВА И СПИНОВЫЙ КРОССОВЕР ПРИ ВЫСОКИХ ДАВЛЕНИЯХ В ОКИСЛАХ ПЕРЕХОДНЫХ МЕТАЛЛОВ С $d^5$ -ИОНАМИ

Ю. С. Орлов\*, С. В. Николаев, С. Г. Овчинников

Институт физики им. Л. В. Киренского ФИЦ КНЦ Сибирского отделения Российской академии наук  
660036, Красноярск, Россия

Сибирский федеральный университет  
660041, Красноярск, Россия

Поступила в редакцию 26 июня 2019 г.,  
после переработки 22 августа 2019 г.  
Принята к публикации 27 августа 2019 г.

Для диэлектриков Мотта – Хаббарда с  $3d^5$ -ионами исследовано влияние эффектов кооперативности на изменение магнитных свойств и спиновый кроссовер между высокоспиновым термом (HS)  $S = 5/2$  и низкоспиновым термом (LS)  $S = 1/2$  при высоких давлениях. Учтены два механизма кооперативности: суперобменное взаимодействие и эффективное взаимодействие через упругую систему. Знак обменного взаимодействия в результате кроссовера меняется от антиферромагнитного в HS-состоянии до ферромагнитного в LS-состоянии. Из-за большой разницы ионных радиусов HS- и LS-состояний в системах со спиновым кроссовером появляется дополнительная сильная связь через упругую систему. В представлении операторов Хаббарда с одновременным учетом электронных состояний двух термов получен эффективный гамильтониан, учитывающий эффекты кооперативности. Магнитная фазовая диаграмма и спиновый кроссовер исследованы в приближении среднего поля. Показано, что при низких температурах учет кооперативности приводит к фазовому переходу первого рода между антиферромагнитным HS-состоянием и ферромагнитным LS-состоянием. При более высоких температурах возможны более сложные последовательности переходов с ростом давления, включая HS-парамагнетик – HS-антиферромагнетик – LS-парамагнетик, HS-антиферромагнетик – LS-парамагнетик – LS-ферромагнетик.

DOI: 10.1134/S0044451019120137

## 1. ВВЕДЕНИЕ

Традиционно в магнетизме диэлектриков учитываются только основные термы магнитных ионов с определенными значениями спинового, орбитального и полного магнитных моментов, и адекватной низкоэнергетической моделью для их описания является модель Гейзенберга. Между тем в последнее время появилось немало экспериментальных исследований эффектов спиновых кроссоверов (СК), обусловленных пересечением двух термов катиона с различными спиновыми состояниями [1]. Спиновый кроссовер может наблюдаться в оксидах  $3d$ -металлов с конфигурациями  $d^4$ – $d^7$  [2–4], в металлоорганических комплексах [5]. На их основе возможно со-

здание безынерционных молекулярных переключателей для хранения и быстрой обработки информации. В нанотехнологии материалы с СК представляют интерес для квантового транспорта и новых поколений сенсоров [6]. Для понимания физических свойств в глубине мантии Земли также важны процессы СК в Fe-содержащих оксидах [7–10].

Спиновый кроссовер обусловлен конкуренцией внутриатомного хундовского обменного взаимодействия, стабилизирующего HS-состояние, и энергии кристаллического поля, минимальной для LS-состояния. Это одноионный процесс, описываемый диаграммами Танабе – Сугано. Между тем, в кристаллах есть и кооперативные эффекты, обусловленные межионными взаимодействиями, например, обменное взаимодействие. Влияние межатомного обмена между  $d^6$ -ионами в HS-состоянии было рассмотрено недавно в работе [11], в которой LS-состояние имеет

\* E-mail: jsokrasn@mail.ru

$S = 0$  и является немагнитным. В настоящей работе мы исследуем влияние кооперативности для оксидов с  $d^5$ -ионами, что соответствует иону  $\text{Fe}^{+3}$  в таких магнитных при комнатной температуре оксидах, как  $\text{Fe}_2\text{O}_3$ ,  $\text{FeBO}_3$ ,  $\text{RFeO}_3$  ( $\text{R}$  — редкоземельный элемент),  $\text{BiFeO}_3$ ,  $\text{Y}_3\text{Fe}_5\text{O}_{12}$ , так и  $\text{GdFe}_3(\text{BO}_3)_4$ , у которого температура Нееля ниже 77 К [1]. К оксидам с  $d^5$ -ионами относится также  $\text{MnO}$ . Мы не случайно выделяем магнитные и немагнитные при комнатной температуре оксиды, так как эксперименты по измерению эффекта Мессбауэра и рентгеновских эмиссионных спектров (XES) при мегабарных давлениях в алмазных наковальнях проще всего проводить при комнатной температуре. Эксперименты при низких температурах возможны, но намного сложнее [12]. Для теоретического описания магнетизма в системах с СК необходимо выйти за рамки низкоэнергетической модели Гейзенберга и учесть вклады как HS-, так и LS-термов в эффективный низкоэнергетический гамильтониан. Кроме того, большое различие ионных радиусов (примерно на 10 %) HS- и LS-ионов вынуждает учесть дополнительный специфический механизм кооперативности, связанный с косвенным взаимодействием катионов через упругую систему.

Дальнейший план статьи следующий. В разд. 2 мы приводим эффективный низкоэнергетический гамильтониан с учетом двух магнитных термов на каждом ионе и взаимодействием с вибронными колебаниями и уравнения теории среднего поля. Наиболее адекватным математическим языком в этой задаче являются операторы Хаббарда, в представлении которых исходная многозонная  $p-d$ -модель с учетом электронных  $d$ -состояний катионов и  $p$ -состояний анионов и всех сильных локальных кулоновских взаимодействий в рамках подхода LDA+GTB [13] проектируется на эффективную низкоэнергетическую модель с выбранными многоэлектронными термами, эта процедура подробно описана в работе [11] и здесь обобщена на случай двух магнитных термов катиона. В разд. 3 приводятся результаты расчета фазовой диаграммы на плоскости (давление, температура).

## 2. ЭФФЕКТИВНЫЙ ГАМИЛЬТОНИАН МАГНИТОУПОРЯДОЧЕННЫХ ДИЭЛЕКТРИКОВ СО СПИНОВЫМ КРОССОВЕРОМ

Эффективный гамильтониан для описания влияния обменного взаимодействия на спиновый кроссовер в магнитоупорядоченных диэлектриках под дав-

лением с учетом вибронного взаимодействия в представлении  $X$ -операторов Хаббарда, построенных на состояниях с различной проекцией спина  $|s_\alpha^z\rangle$ ,  $s_\alpha^z = -S_\alpha, -S_\alpha + 1, \dots + S_\alpha$ , где  $\alpha = 1, 2$  соответственно для HS- и LS-состояний, может быть записан в виде

$$\hat{H}_{eff} = \hat{H}^{(S)} + \hat{H}^{(e,q)}. \quad (1)$$

Здесь первое слагаемое

$$\begin{aligned} \hat{H}^{(S)} = \sum_{\langle i,j \rangle} \sum_{\alpha,\beta} & \left( J_{\alpha\beta} \hat{\mathbf{S}}_i^\alpha \hat{\mathbf{S}}_j^\beta - \frac{1}{4} \hat{n}_i^\alpha \hat{n}_j^\beta \right) + \\ & + \Delta_S \sum_{i,s_2^z} X_i^{s_2^z, s_2^z} \end{aligned} \quad (2)$$

содержит обменное взаимодействие  $J_{\alpha\beta}$  ( $\alpha, \beta = 1, 2$ ), с учетом изменения относительной энергии электронных конфигураций LS- и HS-состояний под влиянием приложенного давления  $P$ ,  $\hat{\mathbf{S}}_i^\alpha$  — операторы спина для  $S_1 = 5/2$  ( $\alpha = 1$ ) и  $S_2 = 1/2$  ( $\alpha = 2$ ):

$$\begin{aligned} \hat{S}_{1i}^+ = \sqrt{5} X_i^{-3/2, -5/2} & + 2\sqrt{2} X_i^{-1/2, -3/2} + \\ & + 3X_i^{+1/2, -1/2} + 2\sqrt{2} X_i^{+3/2, +1/2} + \sqrt{5} X_i^{+5/2, +3/2}, \end{aligned}$$

$$\begin{aligned} \hat{S}_{1i}^- = \sqrt{5} X_i^{-5/2, -3/2} & + 2\sqrt{2} X_i^{-3/2, -1/2} + \\ & + 3X_i^{-1/2, +1/2} + 2\sqrt{2} X_i^{+1/2, +3/2} + \sqrt{5} X_i^{+3/2, +5/2}, \end{aligned}$$

$$\begin{aligned} \hat{S}_{1i}^z = -\frac{5}{2} X_i^{-5/2, -5/2} & - \frac{3}{2} X_i^{-3/2, -3/2} - \\ & - \frac{1}{2} X_i^{-1/2, -1/2} + \frac{1}{2} X_i^{+1/2, +1/2} + \frac{3}{2} X_i^{+3/2, +3/2} + \\ & + \sqrt{5} X_i^{+5/2, +5/2} \end{aligned}$$

[14] и аналогично для  $S_2$ :

$$\hat{n}_i = 5 \sum_{s_1^z=-S_1}^{+S_1} X_i^{s_1^z, s_1^z} + 5 \sum_{s_2^z=-S_2}^{+S_2} X_i^{s_2^z, s_2^z}$$

— оператор числа частиц на узле  $i$ . С учетом условия полноты для  $X$ -операторов Хаббарда

$$\sum_{s_1^z=-S_1}^{+S_1} X_i^{s_1^z, s_1^z} + \sum_{s_2^z=-S_2}^{+S_2} X_i^{s_2^z, s_2^z} = 1, \quad \langle \hat{n}_i \rangle = 5,$$

$\Delta_S = E_{LS} - E_{HS}$  — величина спиновой щели (энергетический интервал между LS- и HS-состояниями). В дальнейшем мы будем предполагать линейную зависимость кристаллического поля и  $\Delta_S$  от давления —  $\Delta_S = a(P_{C0} - P)$ , где  $P_{C0}$  — величина критического давления, при котором  $\Delta_S = 0$  и имел бы место

кроссовер в отсутствие кооперативных эффектов — и линейную зависимость обменного интеграла  $J_{\alpha\beta}$  от давления [1] —

$$J_{\alpha\beta}(P) = \begin{pmatrix} J_{HS}^0 + b_{HS}P & -J_{12} \\ -J_{12} & -(J_{LS}^0 + b_{LS}P) \end{pmatrix}.$$

Смена знака обменного взаимодействия с антиферромагнитного при низких давлениях на ферромагнитный выше точки кроссовера для кристаллов с  $d^5$ -термами предсказана в работе [15]. Второе слагаемое содержит энергию полносимметричных молекулярных колебаний, электронно-колебательное (вибронное) взаимодействие, упругое взаимодействие катионов  $3d$ -металла на соседних узлах кристаллической решетки и описывает изменение объема системы при изменении температуры и внешнего давления [16, 17]

$$\hat{H}^{(e,q)} = \sum_i \left( \frac{1}{2} k \hat{q}_i^2 + \frac{\hat{p}_i^2}{2M} \right) - \sum_i (g_1 \hat{q}_i + g_2 \hat{q}_i^2) \times \\ \times \left( - \sum_{s_1^z=-S_1}^{+S_1} X_i^{s_1^z, s_1^z} + \sum_{s_2^z=-S_2}^{+S_2} X_i^{s_2^z, s_2^z} \right) - \\ - \frac{1}{2} V_q \sum_{\langle i,j \rangle} \hat{q}_i \hat{q}_j, \quad (3)$$

где  $g_1$  и  $g_2$  — константы внутримолекулярного электронно-колебательного взаимодействия,  $k$  — константа упругой связи,  $\hat{q}_i$  — оператор нормальной координаты, соответствующий дыхательной моде колебаний лигантов и сопряженный ему оператор импульса  $\hat{p}_i$ ,  $V_q$  — константа упругого межмолекулярного взаимодействия,  $M$  — эффективная масса осциллятора. Поскольку собственные частоты колебаний лигантов в LS- и HS-состояниях различны,

$$\omega_{LS(HS)} = \sqrt{\frac{k_{LS(HS)}}{M}},$$

в электронно-колебательном взаимодействии необходимо учитывать не только линейные, но и квадратичные по  $\hat{q}$  слагаемые. Константы упругой связи в LS- и HS-состояниях равны соответственно  $k_{LS} = k + 2g_2$  и  $k_{HS} = k - 2g_2$ .

В приближении среднего поля гамильтониан (1) имеет вид

$$\hat{H}_{MF} = H_0 - \sum_{i,\alpha} \mathbf{B}_\alpha \hat{\mathbf{S}}_i^\alpha + \Delta_S \sum_{i,s_2^z} X_i^{s_2^z, s_2^z} + \\ + \sum_i \left( \frac{1}{2} k \hat{q}_i^2 + \frac{\hat{p}_i^2}{2M} \right) - \sum_i (g_1 \hat{q}_i + g_2 \hat{q}_i^2) \times \\ \times \left( - \sum_{s_1^z=-S_1}^{+S_1} X_i^{s_1^z, s_1^z} + \sum_{s_2^z=-S_2}^{+S_2} X_i^{s_2^z, s_2^z} \right) - \\ - V_q \langle \hat{q} \rangle \sum_i \hat{q}_i. \quad (4)$$

Здесь

$$\mathbf{B}_\alpha = z \sum_\beta J_{\alpha\beta} \langle \hat{\mathbf{S}}^\beta \rangle$$

— поле Вейssa, где  $z = 6$  — число ближайших соседей,  $m = \langle \hat{S}_1^z \rangle + \langle \hat{S}_2^z \rangle$  — средняя проекция спина подрешетки.

Рассмотрим представление оператора гамильтониана (4) в матричной форме, используя ортонормированный базис функций в виде прямого произведения собственных состояний операторов проекции спина  $|s_\alpha^z\rangle$  и гармонического осциллятора  $|n_{ph}\rangle$ :

$$|s_\alpha^z, n_{ph}\rangle = |s_\alpha^z\rangle |n_{ph}\rangle, \quad n_{ph} = 0, 1, 2, \dots$$

Для этого удобно воспользоваться выражениями операторов смещения

$$\hat{q}_i = \sqrt{\frac{\hbar}{2M\omega}} (a_i + a_i^\dagger)$$

и импульса

$$\hat{p}_i = \frac{1}{i} \sqrt{\frac{\hbar M \omega}{2}} (a_i - a_i^\dagger)$$

в представлении вторичного квантования, тогда

$$|n_{ph}\rangle = \frac{1}{\sqrt{n_{ph}!}} (a^\dagger)^{n_{ph}} |0, 0, \dots, 0\rangle$$

и

$$\begin{aligned}
H_{\alpha, s_\alpha^z, n_{ph}}^{\alpha', s_\alpha'^z, n_{ph}'} = & \left\{ \left[ -\frac{\Delta_S}{2} - \frac{g_2 \hbar \omega}{2k} (2n_{ph} + 1) \right] \lambda_\alpha + \right. \\
& + \hbar \omega \left( n_{ph} + \frac{1}{2} \right) - s_\alpha^z z \sum_{\beta} J_{\alpha\beta} \langle \hat{S}_{\beta}^z \rangle + \frac{H_0}{N} \left. \right\} \times \\
& \times \delta_{\lambda_\alpha \lambda_{\alpha'}} \delta_{s_\alpha^z s_{\alpha'}'^z} \delta_{n_{ph} n_{ph}'} - \lambda_\alpha g_1 \sqrt{\frac{\hbar \omega}{2k}} \times \\
& \times \left( \sqrt{n_{ph}} \delta_{n_{ph}-1, n_{ph}'} + \sqrt{n_{ph}+1} \delta_{n_{ph}+1, n_{ph}'} \right) \times \\
& \times \delta_{\lambda_\alpha \lambda_{\alpha'}} \delta_{s_\alpha^z s_{\alpha'}'^z} - V_q \langle \hat{q} \rangle \sqrt{\frac{\hbar \omega}{2k}} \times \\
& \times \left( \sqrt{n_{ph}} \delta_{n_{ph}-1, n_{ph}'} + \sqrt{n_{ph}+1} \delta_{n_{ph}+1, n_{ph}'} \right) \times \\
& \times \delta_{\lambda_\alpha \lambda_{\alpha'}} \delta_{s_\alpha^z s_{\alpha'}'^z} - \lambda_\alpha g_2 \frac{\hbar \omega}{2k} \left( \sqrt{n_{ph}(n_{ph}-1)} \delta_{n_{ph}-2, n_{ph}'} + \right. \\
& \left. + \sqrt{(n_{ph}+2)(n_{ph}+1)} \delta_{n_{ph}+2, n_{ph}'} \right) \delta_{\lambda_\alpha \lambda_{\alpha'}} \delta_{s_\alpha^z s_{\alpha'}'^z}, \quad (5)
\end{aligned}$$

где  $N$  — число узлов решетки;  $\lambda_\alpha = 1$ , если  $\alpha = 1$ , и  $\lambda_\alpha = -1$ , если  $\alpha = 2$ .

Набор собственных волновых функций можно представить в виде

$$|\varphi_k\rangle = \sum_{n_{ph}=0}^{N_{ph}} \left[ \sum_{s_2^z=-S_2}^{+S_2} a_{n_{ph}, s_2^z, k} |s_2^z, n_{ph}\rangle + \right. \\
\left. + \sum_{s_1^z=-S_1}^{+S_1} b_{n_{ph}, s_1^z, k} |s_1^z, n_{ph}\rangle \right], \quad (6)$$

где  $N_{ph}$  — число фононов, начиная с которого при  $n_{ph} > N_{ph}$  и заданной величине электронно-колебательного взаимодействия перестают меняться энергия

$$E_0(N_{ph} + 1) \approx E_0(N_{ph})$$

основного состояния  $|\varphi_0\rangle$  и весовые коэффициенты

$$a_{n_{ph}, 0}(N_{ph} + 1) \approx a_{n_{ph}, 0}(N_{ph}),$$

$$b_{n_{ph}, s_z, 0}(N_{ph} + 1) \approx a_{n_{ph}, s_z, 0}(N_{ph}).$$

При рассмотрении различных температурных эффектов необходимо отслеживать неизменность энергии  $E_k$  ближайших к основному возбужденных состояний  $|\varphi_k\rangle$  и весовых коэффициентов

$$a_{n_{ph}, k}(N_{ph} + 1) \approx a_{n_{ph}, k}(N_{ph}),$$

$$b_{n_{ph}, s_z, k}(N_{ph} + 1) \approx b_{n_{ph}, s_z, k}(N_{ph}).$$

Другими словами,  $N_{ph}$  определяет число фононов, которое необходимо учесть при данной величине электронно-колебательного взаимодействия, чтобы

сформировалась «фононная шуба». В наших расчетах  $N_{ph} = 300\text{--}500$  в зависимости от значений используемых параметров и величины давления и температуры. Тогда квантово-механические средние операторов проекции спина  $\hat{S}^z$ , смещения  $\hat{q}$  и заселенность HS-состояния  $\hat{n}$  будут равны

$$\begin{aligned}
\langle \hat{n} \rangle_k = & \left\langle \varphi_k \left| \sum_{s_1^z=-S_1}^{+S_1} X^{s_1^z, s_1^z} \right| \varphi_k \right\rangle = \\
= & \sum_{n_{ph}=0}^{N_{ph}} \sum_{s_1^z=-S_1}^{+S_1} |b_{n_{ph}, s_1^z, k}|^2, \quad (7)
\end{aligned}$$

$$\begin{aligned}
\langle \hat{q} \rangle_k = & \langle \varphi_k | \hat{q} | \varphi_k \rangle = \sqrt{\frac{\hbar}{2M\omega}} \times \\
\times & \sum_{n_{ph}=0}^{N_{ph}} \left\{ \sqrt{n_{ph}} \left( \sum_{s_2^z=-S_2}^{+S_2} a_{n_{ph}, s_2^z, k} a_{n_{ph}-1, s_2^z, k} + \right. \right. \\
& + \sum_{s_1^z=-S_1}^{+S_1} b_{n_{ph}, s_1^z, k} b_{n_{ph}-1, s_1^z, k} \left. \right) + \\
& + \sqrt{n_{ph}+1} \left( \sum_{s_2^z=-S_2}^{+S_2} a_{n_{ph}, s_2^z, k} a_{n_{ph}+1, s_2^z, k} + \right. \\
& \left. \left. + \sum_{s_1^z=-S_1}^{+S_1} b_{n_{ph}, s_1^z, k} b_{n_{ph}+1, s_1^z, k} \right) \right\}, \quad (8)
\end{aligned}$$

$$\begin{aligned}
\langle \hat{S}_1^z \rangle_k = & \langle \varphi_k | \hat{S}_1^z | \varphi_k \rangle = \sum_{n_{ph}=0}^{N_{ph}} \sum_{s_1^z=-S_1}^{+S_1} s_1^z |b_{n_{ph}, s_1^z, k}|^2, \\
\langle \hat{S}_2^z \rangle_k = & \langle \varphi_k | \hat{S}_2^z | \varphi_k \rangle = \sum_{n_{ph}=0}^{N_{ph}} \sum_{s_2^z=-S_2}^{+S_2} s_2^z |a_{n_{ph}, s_2^z, k}|^2.
\end{aligned} \quad (9)$$

А их квантово-статистические средние задаются формулами

$$n = \langle \hat{n} \rangle = \sum_k \frac{\langle \hat{n} \rangle_k e^{-E_k/k_B T}}{Z}, \quad (10)$$

$$q = \langle \hat{q} \rangle = \sum_k \frac{\langle \hat{q} \rangle_k e^{-E_k/k_B T}}{Z}, \quad (11)$$

$$\langle \hat{S}_\alpha^z \rangle = \sum_k \frac{\langle \hat{S}_\alpha^z \rangle_k e^{-E_k/k_B T}}{Z}, \quad (12)$$

где  $Z = \sum_k e^{-E_k/k_B T}$  — статистическая сумма.

Равновесные положения лигандов, соответствующие минимумам потенциальной энергии колебаний СК-комплекса, в LS- и HS-состояниях определяются соответственно выражениями

$$q_{LS}^0 = -\frac{g_1}{k_{LS}} \quad \text{и} \quad q_{HS}^0 = \frac{g_1}{k_{HS}}.$$

Для выбранных значений параметров, приведенных ниже,  $q_{LS}^0 = -0.09 \text{ \AA}$ ,  $q_{HS}^0 = 0.13 \text{ \AA}$ , а  $\Delta q^0 = q_{HS}^0 - q_{LS}^0 = 0.22 \text{ \AA}$ . Если принять, что длина связи при  $T = 0$  порядка  $2 \text{ \AA}$ , то  $\Delta q^0$  составляет 10 % от этой величины. Это число согласуется с известной разностью ионных радиусов в LS- и HS-состояниях. Видно, что в отсутствие электронно-колебательного взаимодействия  $q_{LS(HS)}^0 = 0$  и изменение объема системы с ростом температуры возможно только из-за ангармонизма.

### 3. ФАЗОВАЯ $P$ - $T$ -ДИАГРАММА

Объем элементарной ячейки как функцию давления и температуры можно представить как

$$V(P, T) = V_r(P, T) + \Delta V(P, T),$$

где  $V_r(P, T)$  — регулярная составляющая, обусловленная ангармонизмом колебаний решетки, а  $\Delta V(P, T) \sim q^3$  — аномальный вклад, возникающий из-за вибронного взаимодействия. Кроме того, в случае материалов со спиновым кроссовером большой вклад в аномалию теплового расширения вносит перераспределение статистических весов HS/LS из-за большой разницы в их ионных радиусах [18]. Рассмотрим сначала решения системы уравнений (5) и (10)–(12) в отсутствие обменного взаимодействия, при  $J_{\alpha\beta} = 0$ . В этом случае будем иметь  $m = 0$  для намагниченности и резкий скачок заселенности  $n$  HS-состояния и смещения  $q$  (объема элементарной ячейки) в точке кроссовера при  $T = 0$ , соответствующий квантовому фазовому переходу в точке  $P_{C0}$  [19]. При  $J_{\alpha\beta} = 0$  квантовый фазовый переход с ростом температуры размывается в плавный кроссовер между HS- и LS-состояниями (рис. 1). Для удобства сравнения случаев  $J_{\alpha\beta} = 0$  и  $J_{\alpha\beta} \neq 0$  здесь и ниже внешнее давление и температура приведены соответственно в единицах  $P_{C0}$  и обменного взаимодействия  $J_{HS}^0$ .

На рис. 2 в координатах давления и температуры представлены диаграммы заселенности HS-состояния  $n$  (а), намагниченности  $m$  (б) и смещения  $q$  (в), являющихся самосогласованным решением системы уравнений (5) и (10)–(12) при  $J_{\alpha\beta} \neq 0$ . Для заданных значений температуры и давления возможно появление нескольких решений для параметров  $n$ ,  $m$  и  $q$ , из которых мы выбираем решения, соответствующие минимуму свободной энергии Гельмгольца  $F = -k_B T \ln Z$ . Расчеты были выполнены для следующих значений параметров, типичных для FeBO<sub>3</sub> [20]:  $z = 6$ ,  $a = 80 \text{ К}\cdot\text{ГПа}^{-1}$ ,  $P_{C0} = 55 \text{ ГПа}$ ,

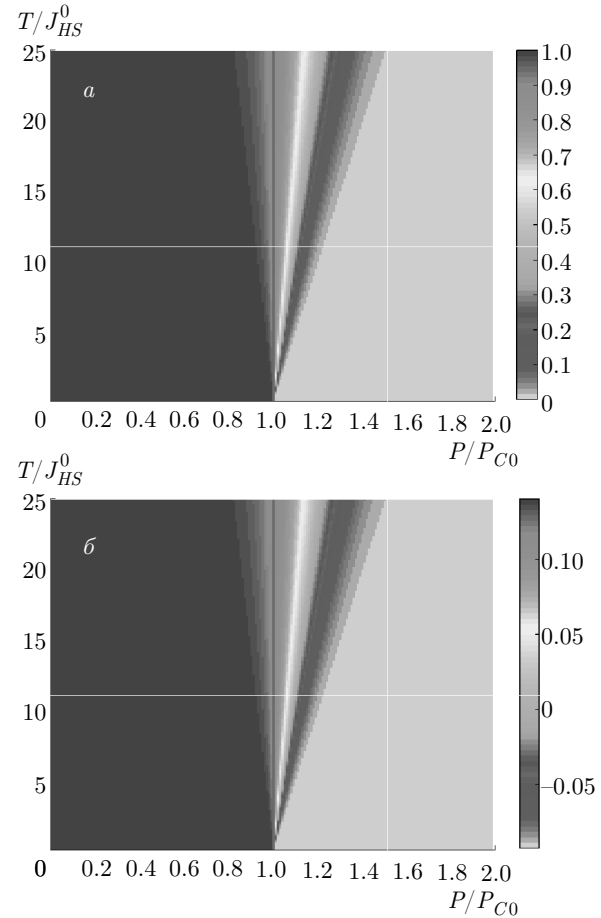
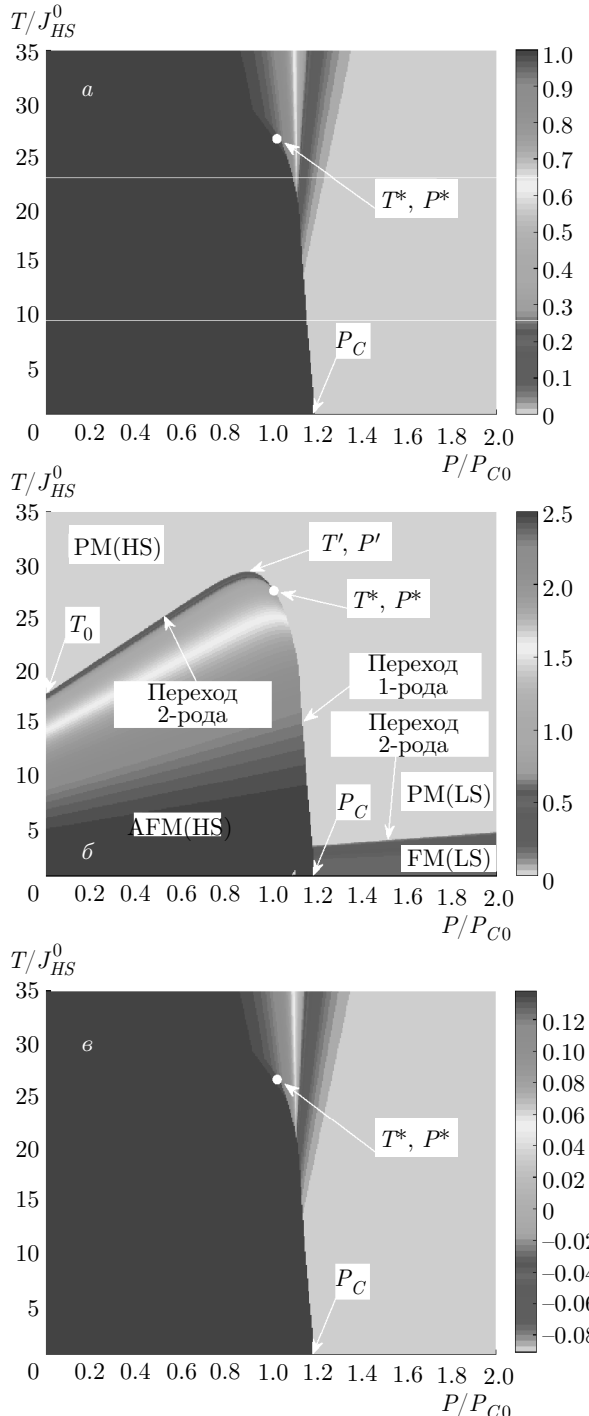


Рис. 1. Диаграмма заселенности HS-состояния  $n$  (а) и смещения  $q$  (б), в отсутствие обменного взаимодействия  $J_{\alpha\beta} = 0$

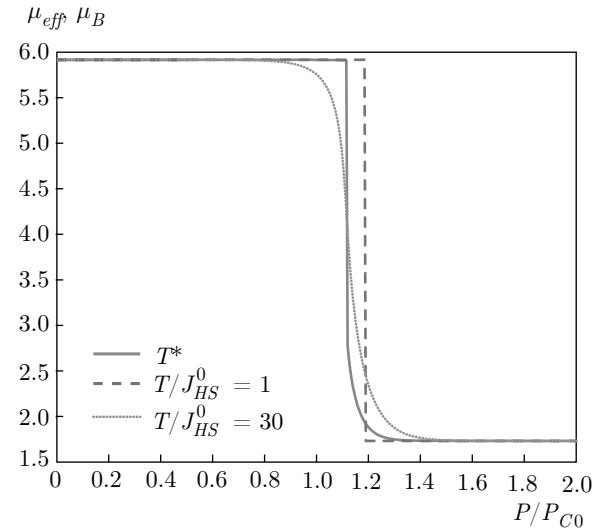
$k = 7.5 \text{ эВ/}\text{\AA}^2$ ,  $\omega = 0.05 \text{ эВ}$ ,  $g_1 = 0.8 \text{ эВ/}\text{A}$ ,  $g_2 = 0.75 \text{ эВ/}\text{A}^2$ ,  $J_{HS}^0 = 20.3 \text{ K}$  ( $S_1 = 5/2$ ),  $b_{HS} = 0.3 \text{ К}\cdot\text{ГПа}^{-1}$ ,  $J_{LS}^0 = 13 \text{ K}$  ( $S_2 = 1/2$ ),  $b_{LS} = 0.4 \text{ К}\cdot\text{ГПа}^{-1}$ ,  $J_{12} = 0$ ,  $V_q = 0.2 \text{ эВ/}\text{A}$ . Видно, что из-за наличия кооперативного обменного взаимодействия  $J_{\alpha\beta}$  в системе сохраняется основное магнитоупорядоченное антиферромагнитное HS-состояние, AFM (HS), вплоть до  $P = P_C > P_{C0}$  (рис. 2б), несмотря на то, что в одноионной картине при  $P > P_{C0}$  основным является LS-состояние. Сдвиг критического давления  $P_C$  за счет кооперативных эффектов вполне понятен, так как обменное взаимодействие больше стабилизирует HS-состояние. При  $P > P_C$  основное антиферромагнитное HS-состояние сменяется ферромагнитным LS-состоянием, FM (LS) (рис. 2б), а объем испытывает скачок в точке перехода  $P = P_C$  (рис. 2б).

В области давлений  $P < P_C$  (рис. 2б) с ростом температуры система испытывает фазовый переход



**Рис. 2.** Диаграммы заселенности HS-состояния  $n$  (а), намагниченности  $m$  (б) и смещения  $q$  (в), соответствующие минимуму свободной энергии  $F$

второго рода из AFM (HS) в парамагнитное состояние, если  $P < P^*$ , и первого рода, если  $P^* < P < P_C$ . В первом случае наблюдается плавное изменение объема, а во втором, наоборот, резкое (рис. 2б). На



**Рис. 3.** Зависимость эффективного магнитного момента  $\mu_{eff}(P, T)$  от давления  $P$  при различных фиксированных значениях  $T$

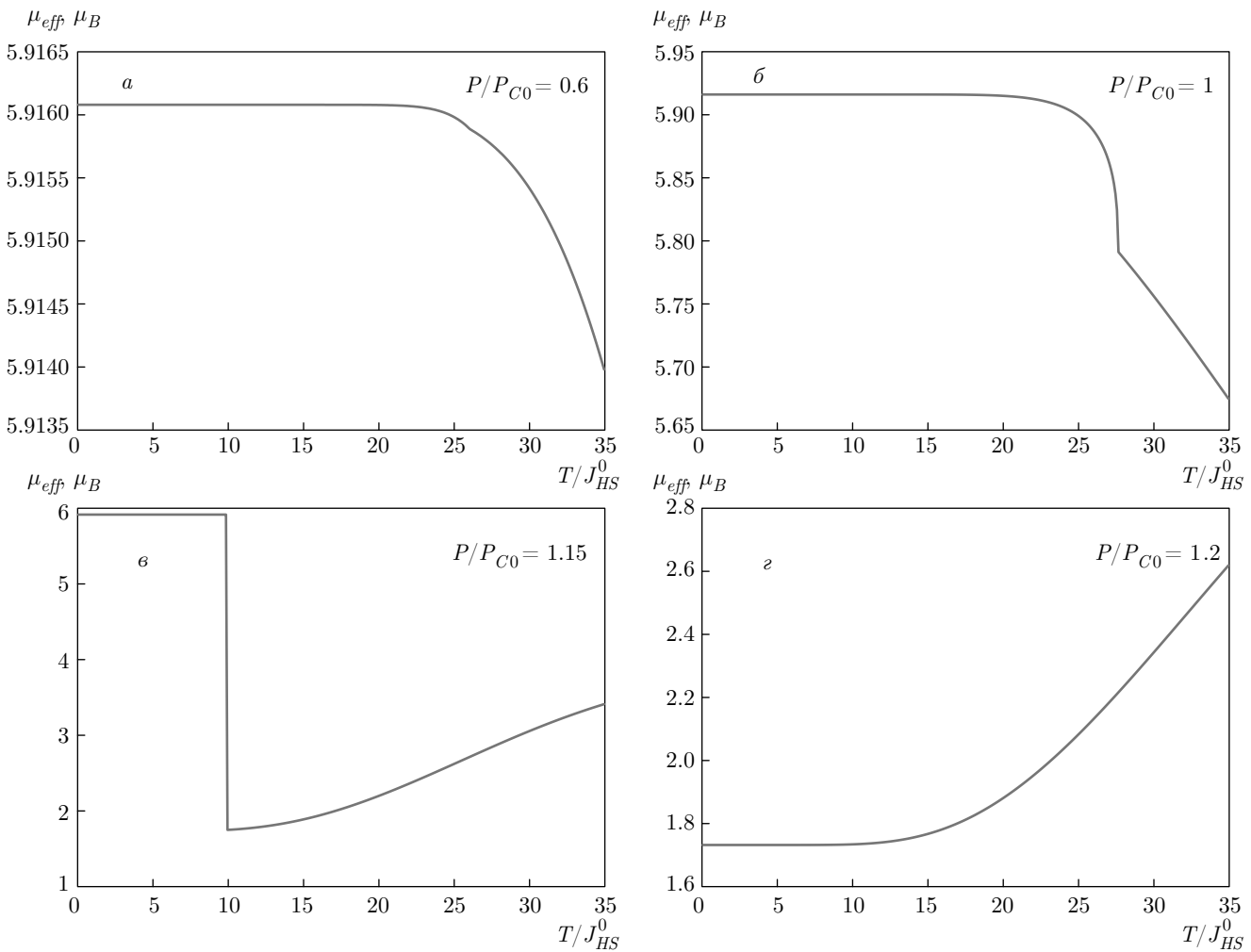
$P$ - $T$ -диаграммах хорошо видно существование особой точки, так называемой трикритической точки ( $T^*$  и  $P^*$  на рис. 2б), в которой линия фазовых переходов второго рода непрерывно переходит в линию фазовых переходов первого рода.

В области давлений  $P > P_C$  с ростом температуры система испытывает фазовый переход второго рода из ферромагнитного (LS) в парамагнитное состояние, при этом с ростом давления наблюдается увеличение температуры Кюри.

С учетом увеличения обменного интеграла с ростом давления становится возможным существование возвратной намагниченности по давлению при  $T_0 < T \leq T'$ , где  $T_0$  — температура Нееля при  $P = 0$ , а  $T'$  — максимально возможное значение температуры Нееля с ростом давления. Так, при  $T_0 < T \leq T'$  (рис. 2б) система из парамагнитного состояния с ростом давления сначала переходит в магнитоупорядоченное антиферромагнитное состояние путем фазового перехода второго рода, а потом в парамагнитное путем фазового перехода первого рода, если  $T^* < T_0$  и либо первого рода, если  $T^* > T_0$  и  $T_0 < T < T^*$ , либо второго рода, если  $T^* > T_0$ , но  $T^* < T < T'$ . В напом случае для используемого набора параметров  $T^* > T_0$ . При  $0 \leq T \leq T^*$  с ростом давления объем системы меняется скачком, а при  $T > T^*$  — непрерывным образом (рис. 2б).

На рис. 3 и 4 приведена зависимость эффективного магнитного момента

$$\mu_{eff}(P, T) = \mu_B g \sqrt{n S_1 (S_1 + 1) + (1 - n) S_2 (S_2 + 1)}$$



**Рис. 4.** Зависимость эффективного магнитного момента  $\mu_{eff}(P, T)$  от температуры  $T$  при различных фиксированных значениях  $P$  (а–г)

от давления  $P$  и температуры  $T$  в единицах магнетона Бора  $\mu_B$  ( $g = 2$  — множитель Ланде) при различных фиксированных значениях соответственно  $T$  и  $P$ . В области давлений  $0 \leq P < P'$  наблюдается плавное уменьшение эффективного магнитного момента с ростом температуры от максимально возможного значения

$$\mu_{eff}^{HS} = \mu_B g \sqrt{S_1(S_1 + 1)} = 5.92\mu_B$$

(рис. 4a). При  $P' \leq P \leq P^*$  на температурной зависимости  $\mu_{eff}(P, T)$  имеется излом (рис. 4б), а при  $P^* < P < P_C$  — резкий скачок (рис. 4в); температуры излома и скачка смещаются в сторону низких температур с ростом давления. Наконец, в LS-фазе выше критического давления  $P_C$  снова наблюдается плавное увеличение эффективного магнитного момента с ростом температуры от минимально воз-

можного значения

$$\mu_{eff}^{HS} = \mu_B g \sqrt{S_2(S_2 + 1)} = 1.73\mu_B$$

без каких-либо особенностей.

#### 4. ЗАКЛЮЧЕНИЕ

Несмотря на гейзенберговский по форме вид обменного гамильтонiana, термодинамика в данной задаче отличается от стандартной, в которой намагниченность записывается в виде функции Бриллюэна от эффективного магнитного поля. Связано это отличие, во-первых, с наличием двух магнитных термов, каждый из которых может быть частично заполнен, и, во-вторых, с тем, что волновая функция не является произведением функций каждого терма. Условие полноты многоэлектронного гильбертова пространства требует, чтобы сумма

всех диагональных операторов Хаббарда, как для одного значения спина, так и для другого, была равна единице. Эта связь сохраняется в нашей версии теории среднего поля. Магнитная фазовая диаграмма и спиновый кроссовер исследованы в приближении среднего поля. Показано, что при низких температурах учет кооперативности приводит к фазовому переходу первого рода между антиферромагнитным HS-состоянием и ферромагнитным LS-состоянием. При более высоких температурах возможны более сложные последовательности переходов с ростом давления, включая HS-парамагнетик–HS-антиферромагнетик–LS-парамагнетик, HS-антиферромагнетик–LS-парамагнетик–LS-ферромагнетик.

Как указано во Введении, имеется около десяти различных окислов с  $d^5$ -ионами, в основном соединения с ионом  $\text{Fe}^{+3}$ , у которых имеется спиновый кроссовер [1]. Из них наиболее исследованы свойства под давлением у  $\text{FeBO}_3$ . Так, рост температуры Нееля  $T_N(P)$  был обнаружен из измерений намагниченности [21] и сдвига частоты двухмагнитных возбуждений в рамановских спектрах [22]. Резкий скачок температуры Нееля и подавление сверхтонкого поля были обнаружены в мессбауэровских экспериментах [23], что было названо авторами магнитным коллапсом. Этот коллапс сопровождается скачкообразным изменением объема [24] скачком края оптического поглощения с переходом диэлектрик (щель  $E_g = 3$  эВ)–полупроводник ( $E_g = 0.7$  эВ) [25]. Связь магнитного коллапса со спиновым кроссовером между локализованными многоэлектронными термами иона  $\text{Fe}^{+3}$  была предложена в работах [26, 27]. Экспериментальная фазовая диаграмма  $\text{FeBO}_3$  и ее обсуждение приведены в работе [20]. В настоящей работе мы объединили рассмотрение магнитных и упругих свойств в окрестности спинового кроссовера за счет кооперативных эффектов, которые ранее не рассматривались. В результате, как видно на рис. 2, спиновый кроссовер и скачок объема происходят одновременно в согласии с экспериментом. Обсудим, какие еще возможны экспериментальные исследования, проливающие свет на физику спиновых кроссоверов. Исследование упругих свойств в широком диапазоне температур и давлений дает такие возможности, поскольку изменение ионного радиуса при HS–LS-кроссовере примерно на 10 % проявляется в макроскопических свойствах как изменение объема, поэтому карты заселенности и смещений ионов, пропорциональных изменению объема, на рис. 2 $a$  и 2 $b$  так похожи. В то же время эксперименты по рентгеновской дифрак-

ции при разных давлениях и температурах проще, чем магнитные измерения методами мессбауэровской спектроскопии или рентгеновского магнитного кругового дихроизма. Таким образом, представляет интерес исследовать зависимости объема кристалла от давления при разных температурах, выше и ниже трикритической точки на рис. 2. В частности, для  $\text{FeBO}_3$  трикритическая точка на рис. 2 близка к комнатной температуре. Можно ожидать, что объем как функция давления при температуре 77–100 К будет скачком меняться в точке спинового кроссовера в результате фазового перехода первого рода, а при температурах 350–400 К объем будет плавно изменяться в интервале давлений шириной 10 ГПа. Также можно ожидать различие в поведении теплоемкости. При фазовом переходе первого рода имеется скачок энтропии, поэтому измерения теплоемкости в окрестности перехода могут дать заметный рост в точке кроссовера (бесконечный в теории, но конечный в эксперименте). Изменение объема, конечно, проявится и в сдвиге частот фононов, что можно обнаружить по измерениям рамановских спектров.

В настоящее время можно считать, что свойства HS-состояния при давлениях меньше  $P_C$  вполне понятны. Рост  $T_N(P)$ , обнаруженный по данным мессбауэровских измерений, количественно совпадает с более ранними данными [21, 22]. Остались вопросы по свойствам LS-состояния при давлениях выше  $P_C$ . Теоретические расчеты электронной структуры и магнитных свойств в рамках зонной теории предсказали выше критического давления однородную антиферромагнитную фазу с магнитным моментом, примерно в четыре раза меньше по сравнению с нулевым давлением [28]. При обсуждении фазовой диаграммы в работе [20] также предполагалось, что LS-состояние при давлениях выше  $P_C$  антиферромагнитно, и его температура Нееля близка к 50 К, что много меньше, чем в высокоспиновом состоянии. На самом деле измерения сверхтонких полей не позволяют отличить антиферромагнитную фазу от ферромагнитной. Таким образом, более поздние многоэлектронные расчеты обменного взаимодействия [15], показавшие смену знака обменного взаимодействия при кроссовере, не противоречат имеющимся мессбауэровским данным. Экспериментальное определение типа магнитного порядка пока отсутствует. Любопытно, что отношение магнитных моментов в HS/LS-состояниях, полученное нами на рис. 3 для ферромагнитной фазы, близко к отношению 1/4, предсказанному в работе [28] для антиферромагнитной фазы.

Другой интересный вопрос о поведении диэлектриков Мотта – Хаббарда с дальнейшим ростом давления связан с переходом диэлектрик–металл, и тем, какую роль при этом играет спиновый кроссовер. В многоэлектронной модели [29] было показано, что в  $\text{FeBO}_3$  спиновый кроссовер подавляет параметр Хаббарда  $U$  почти в три раза, с чем и связан наблюдавшийся скачок края поглощения [25]. Экстраполяция зависимости щели от давления выше  $P_C$  позволила оценить возможную металлизацию при давлениях порядка 210 ГПа. Надо сказать, что рассмотренная модель спинового кроссовера в  $\text{FeBO}_3$  с дальнейшим ростом давления перестает работать при  $P \approx 200$  ГПа, где предсказаны смена режима от диэлектрика Мотта – Хаббарда к решетке Кондо и металлизация [20]. Измерения электрических свойств при таких давлениях [30] подтвердили металлические свойства и проявление свойств решетки Кондо. Поскольку в настоящее время доступны измерения электрических свойств в алмазных наковальнях до 300 ГПа и выше, приведшие к обнаружению высокотемпературной сверхпроводимости в сероводороде и металлогидридах [31–33], возможная сверхпроводимость бывших моттовских диэлектриков при давлениях выше 200 ГПа вполне представляет интерес.

**Финансирование.** Работа выполнена при поддержке Российского научного фонда (грант № 18-12-00022).

## ЛИТЕРАТУРА

1. И. С. Любутин, А. Г. Гаврилюк, УФН **179**, 1047 (2009).
2. Y. Tanabe and S. Sugano, J. Phys. Soc. Jpn. **9**, 753 (1954).
3. I. Ohkoshi, K. Imoto, Y. Tsunobuchi et al., Nat. Chem. **3**, 564 (2011).
4. С. В. Стрельцов, Д. И. Хомский, УФН **187**, 1205 (2017).
5. T. Saha-Dasgupta and P. Oppeneer, MRS Bull. **39**, 614 (2014).
6. C. M. Jureschi, J. Linares, A. Rotaru et al., Sensors **15**, 2388 (2015).
7. R. M. Wentzcovitch, J. F. Justo, Z. Wu et al., Proc. Nat. Acad. Sci. USA **106**, 8447 (2009).
8. S. G. Ovchinnikov, T. M. Ovchinnikova, P. G. Dyad'kov et al., Письма в ЖЭТФ **96**, 135 (2012).
9. R. Simmyo, C. Mccammon, and L. Dubrovinsky, Amer. Mineralogist **102**, 1263 (2017).
10. S. V. Streltsov, A. O. Shorikov, S. L. Skornyakov et al., Sci. Rep. **7**, 13005 (2017).
11. A. I. Nesterov, Yu. S. Orlov, S. G. Ovchinnikov, and S. V. Nikolaev, Phys. Rev. B **96**, 134103 (2017).
12. I. S. Lyubutin, V. V. Struzhkin, A. A. Mironovich et al., Proc. Nat. Acad. Sci. USA **110**, 7142 (2013).
13. M. M. Korshunov, V. A. Gavrichkov, S. G. Ovchinnikov et al., ЖЭТФ **126**, 642 (2004).
14. Б. В. Вальков, С. Г. Овчинников, ТМФ **50**, 466 (1982).
15. В. А. Гавричков, С. И. Полукеев, С. Г. Овчинников, ЖЭТФ **154**, 835 (2018).
16. N. O. Lipari, C. B. Duke, and L. Pietronero, J. Chem. Phys. **65**, 1165 (1976).
17. A. Painelli and A. Girlando, J. Chem. Phys. **84**, 5655 (1986).
18. Yu. S. Orlov, L. A. Solovyev, V. A. Dudnikov et al., Phys. Rev. B **88**, 235105 (2013).
19. A. I. Nesterov and S. G. Ovchinnikov, Письма в ЖЭТФ **90**, 580 (2009).
20. A. G. Gavrilyuk, I. A. Trojan, I. S. Lyubutin et al., ЖЭТФ **127**, 780 (2005).
21. D. M. Wilson and S. Broersma, Phys. Rev. B **14**, 1977 (1976).
22. M. J. Massey, R. Merlin, and S. M. Girvin, Phys. Rev. Lett. **69**, 2299 (1992).
23. В. А. Саркисян, И. А. Троян, И. С. Любутин, А. Г. Гаврилюк, А. Ф. Кашуба, Письма в ЖЭТФ **76**, 778 (2002).
24. A. G. Gavriliuk, I. A. Trojan, R. Boehler et al., Письма в ЖЭТФ **75**, 25 (2002).
25. И. А. Троян, М. И. Еремец, А. Г. Гаврилюк, И. С. Любутин, В. А. Саркисян, Письма в ЖЭТФ **78**, 16 (2003).
26. С. Г. Овчинников, Письма в ЖЭТФ **77**, 808 (2003).
27. С. Г. Овчинников, В. Н. Заблуда, ЖЭТФ **125**, 150 (2004).
28. K. Parlinski, Eur. Phys. J. B **27**, 283 (2002).
29. А. Г. Гаврилюк, И. А. Троян, С. Г. Овчинников, И. С. Любутин, В. А. Саркисян, ЖЭТФ **126**, 650 (2004).

30. И. А. Троян, А. Г. Гаврилюк, С. Г. Овчинников, И. С. Любутин, Н. В. Казак, Письма в ЖЭТФ **94**, 811 (2011).
31. A. P. Drozdov, M.I . Eremets, I. A. Troyan, V. Ksenofontov, and S. I. Shylin, Nature **525**, 73 (2015).
32. I. Troyan, A. Gavriliuk, R. Ruffer, A. Chumakov, A. Mironovich, I. Lyubutin, D. Perekalin, A. Drozdov, and M. Eremets, Science **351**(6279), 1303 (2016).
33. Maddury Somayazulu, Muhtar Ahart, Ajay K. Mishra, Zachary M. Geballe, Maria Baldini, Yue Meng, Viktor V. Struzhkin, and Russell J. Hemley, Phys. Rev. Lett. **122**, 027001 (2019).